

УДК 549.643.2

МИНЕРАЛОГИЯ

В. М. ШЕМЯКИН, М. В. ТЕРЕНТЬЕВА, Е. П. СОКОЛОВА

ГАСТИНГСИТОВЫЙ АМФИБОЛ ИЗ ЧАРНОКИТОВ  
СЕВЕРНОЙ КАРЕЛИИ

(Представлено академиком Д. С. Коржинским 11 XII 1969)

Гастингсит является сравнительно мало распространенным минералом из группы амфиболов. Главным образом он характерен для щелочных гранитов, гранитных пегматитов, сиенитов и нефелиновых сиенитов. Значительно реже он встречается в кристаллических сланцах и гнейсах. Настолько нам известно, присутствие гастингсита в чарнокитах не отмечалось, и впервые он был обнаружен в гиперстеновых гранитоидах — интрузивных чарнокитах Северной Карелии (¹).

Термин «группа гастингсита» был введен в литературу Биллингсом (²), который выделил в ней три разновидности в зависимости от отношения  $\text{FeO} : \text{MgO}$  — магнезиогастингсит, фемагастингсит и феррогастингсит. Позднее вопросам терминологии и классификации гастингситовых амфиболов было посвящено еще несколько работ (³—⁵). Одним из критериев для выделения гастингсита в особую группу явилась степень изоморфного замещения Si на Al в тетраэдрической координации, близкая к  $[\text{Al}_5\text{Si}_4]^{IV}$ . Однако в дальнейшем было показано, что для гастингситов это отношение может опускаться до  $[\text{Al}_{1.5}\text{Si}_{6.5}]^{IV}$  (⁶—¹¹).

В настоящей статье приводятся результаты минералогического, химического и рентгеноструктурного исследований гастингсита из интрузивных чарнокитов Вичанского и Нарвозерского массивов, развитых в области сочленения Беломорского срединного массива с Карельской подвижной зоной карелид в Северной Карелии.

Вичанские и Нарвозерский массивы сложены довольно однородными интрузивными чарнокитами, по минеральному составу отвечающими двунироксеновым, гиперстеновым, гиперстен-гастингситовым, гиперстен-гастингсит-биотитовым гранитам, гранодиоритам и плагиогранитам. Главные пордообразующие минералы: кварц, андезин 40 % An, олигоклаз-андезин 26—32 % An, ортоклаз, гиперстен ( $F = 62—75$ ), салит ( $F = 24—36\%$ ), гастингсит ( $F = 64—70\%$ ), биотит ( $F = 61—70\%$ ) и существенно альмандиновый гранат (¹, ¹²). Аксессорные минералы — эпратит, ортит, циркон, магнетит.

Анализ кристаллизации магмы на основе систем кремнезем — плагиоклаз — моноклинный пироксен — ромбический пироксен и альбит — аиортит — ортоклаз — кварц, построенных путем экстраполяции и обобщения экспериментальных данных по частным бинарным и трехкомпонентным системам (¹²), показывает, что минералообразование происходило последовательно. Начальный этап осаждения твердых фаз из расплава, характеризующийся высокой температурой (порядка  $1000^\circ$ ), низким содержанием воды в магме, пониженной щелочностью и крайне низким  $P_{\text{O}_2}$ , приводит к формированию ассоциации кварц + гиперстен + андезин + салит + + гранат. С понижением температуры (до  $700^\circ$ ), в условиях обогащения магмы водой, повышения  $P_{\text{O}_2}$  и химических потенциалов воды и щелочей, ранняя ассоциация сменяется ассоциацией гастингсит + биотит + плагиоклаз<sub>28—32</sub> + кварц. Одновременно идет частичное окисление ромбического

Таблица 1

## Оптические константы гастигситов

№ обр.	$N_g$	$N_m$	$N_p$	$N_g - N_p$	$2V_{N_p}$	$cN_g$	Плеохроизм
Д120	1,717 †	1,699	1,675	0,032	51	17	$N_g$ — густой сине-зеленый $N_m$ — сине-зеленый $N_p$ — коричневый
Д157	1,715	1,706	1,686	0,029	46	19	$N_g$ — темно-зеленый, почти непрозрачный $N_m$ — темно-зеленый $N_p$ — золотисто-коричневый
18	1,714	1,703	1,677	0,037	58	23	$N_g$ — густой сине-зеленый $N_m$ — сине-зеленый
542	1,709	1,702	1,683	0,026	52	16	$N_p$ — коричневый $N_g$ — темно-зеленый $N_m$ — темно-коричнево-зеленый $N_p$ — золотисто-коричневый

пироксена с образованием магнетита и кварца. После полного выделения железо-магнезиальных компонентов из магмы при температуре 700—650° кристаллизуется кварц-полевошпатовый остаточный расплав<sup>(12)</sup>.

Гастигсит равномерно распределен в породе в виде призматических кристаллов размеров 0,5—1 × 2—3 мм или неправильной формы зерен. В катаклазированных чарнокитах он образует совместно с другими минералами гломеробластовые скопления, придающие породе пятнистую текстуру.

Таблица 2

Параметры элементарной ячейки гастигситов (Å)

№ обр.	$a \pm 0,006$	$b \pm 0,01$	$c \pm 0,01$	$\angle \beta \pm 10'$
Д120	9,856	18,12	5,27	75°35'
Д157	9,890	18,14	5,32	75°10'
18	9,872	18,12	5,30	74°57'
542	9,883	18,10	5,29	75°24'

Примечание. Условия съемки: Си-излучение, Ni-фильтр,  $D = 143,0$  мм,  $d = 0,5$  мм. Поправка — по особому снимку смеси с NaCl. Расчет параметров производился по плоскостям следующих  $hkl$ : 002; 461; 600; 012,0; 661. Экспозиция 6 час.

Оптические константы исследованных образцов гастигсита приведены в табл. 1. При сравнении этих данных с таковыми для гастигситов, ранее описанных<sup>(2), (4), (7-11)</sup>, следует подчеркнуть, что наши гастигситы обладают значительно более высоким двупреломлением, достигающим 0,037.

Для рентгеноструктурного и химического анализов были отобраны четыре образца гастигсита из чарнокитов. Порошковые картины всех образцов оказались идентичными и подтвердили принадлежность изученных минералов к группе гастигсита. Рассчитанные параметры элементарной ячейки (табл. 2) близки к эталонным<sup>(13)</sup>.

Химический анализ гастигситов проводился по классической схеме. Для более точного определения щелочных металлов применяли метод фотометрии пламени. Содержание  $H_2O$  фиксировали прямым методом с поглотительными трубками.

По химизму анализированные образцы (табл. 3) показали стабильность состава. Содержание главных породообразующих окислов колеблется в уз-

ком диапазоне, а содержание примесей — в широком.

В шлифах гастигсит обнаруживает амфиболоподобные формы, удлиненные по [001]. В этих разрезах отчетливо фиксируется спайность в одном направлении. В разрезах  $\perp$  [001], имеющих близкие к изометрическим очертания, устанавливается вторая система спайности под углом 114° к первой. Опти-

ком интервале значений. Общая железистость составляет от 64,7 до 70,0 мол. %. Это расхождение обусловлено перераспределением железа (при практически постоянных весовых количествах окисного и закисного железа в минерале) — окислением части  $\text{Fe}^{2+}$  либо в процессе кристаллизации магмы, вызванном локальными изменениями термодинамических условий минералообразования, либо при наложении амфиболитового метаморфизма чарнокитов после становления и консолидации интрузивных тел.

У. А. Дир и др. (13) предложили классифицировать амфиболов по соотношению в них алюминия, находящегося в тетраэдре, и атомов щелочей в группе X. Нанесение составов амфиболов из чарнокитов Северной Карелии на диаграмму У. А. Дири и др. (рис. 1) показало, что все они отчетливо попадают в поле гастиングсита.

Расчет кристаллохимических формул гастиングситов на основе 13 катионов (14) выявил для анализов обр. №№ Д157; 18 и 542 избыток кислорода против 22, который вынесен в позицию гидроксила в силу того, что вхождение  $\text{O}_2$  в положение  $[\text{OH}]$  является общепризнанным. Вместе с тем, в обр. № Д120 отмечается недостаток кислорода против стандартного в 0,27 формульных единицы. Он восполнен за счет гидроксила. Здесь следует подчеркнуть, что замещение

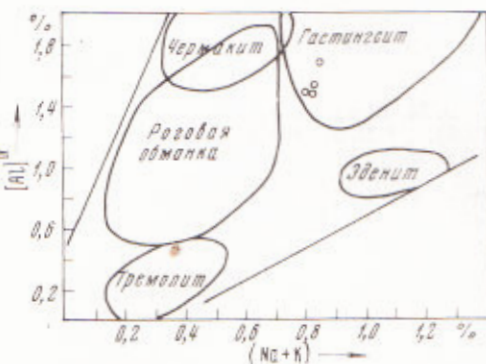


Рис. 1. Диаграмма, показывающая колебания химических составов кальциевых амфиболов в зависимости от содержания  $(\text{Na} + \text{K})$  и  $[\text{Al}]^{\text{IV}}$  на формульную единицу (13). Точками показаны гастиングситы из чарнокитов Северной Карелии

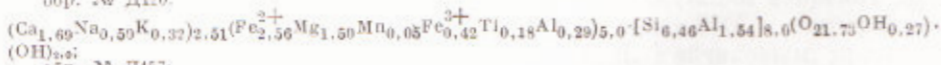
Таблица 3

Химический состав гастиングситов (%)

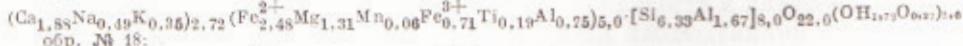
№ обр.	$\text{SiO}_2$	$\text{TiO}_2$	$\text{Al}_2\text{O}_3$	$\text{Fe}_2\text{O}_3$	$\text{FeO}$	$\text{MnO}$	$\text{MgO}$	$\text{CaO}$	$\text{Na}_2\text{O}$	$\text{K}_2\text{O}$	$\text{H}_2\text{O}^+$	Сумма
Д120	42,52	1,60	10,22	3,60	20,16	0,38	6,66	10,39	1,72	1,66	1,55	100,46
Д157	40,64	1,60	10,48	6,00	19,08	0,41	5,66	11,31	1,60	1,76	1,45	99,99
18	42,02	1,35	9,75	5,00	19,44	0,30	6,25	10,87	1,75	1,48	2,05	100,26
542	41,97	1,56	9,33	5,36	20,15	0,75	5,46	10,61	1,74	1,58	1,50	100,01

Кристаллохимические формулы (расчет на 13 катионов (14))

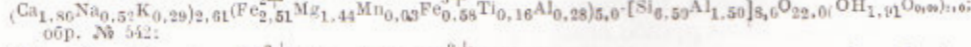
обр. № Д120:



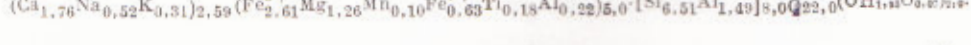
обр. № Д157:



обр. № 18:



обр. № 542:



кислорода на  $[\text{OH}]$  исключается для кремнекислородных тетраэдров (15), но допускается в окружении алюминия, входящего в тетраэдры алюмосиликатов (16, 11).

Изученные нами гастиングситы по химическому составу, оптическим и другим данным близки к гастиングситам, встречающимся в совершенно иных

парагенезисах, нежели описанный в данной статье. Это свидетельствует о его более широком распространении в природе, чем считалось ранее.

Институт геологии и геохронологии докембрия  
Академии наук СССР

Поступило  
9 XII 1969

Всесоюзный научно-исследовательский  
геологический институт  
Ленинград

#### ЦИТИРОВАННАЯ ЛИТЕРАТУРА

- <sup>1</sup> В. М. Шемякин, ДАН, 169, № 6 (1966). <sup>2</sup> M. Billings, Am. Mineral., 13, 7 (1928). <sup>3</sup> H. Bergman, Am. Mineral., 22, 342 (1937). <sup>4</sup> S. Foslie, Norsk. Geol. Tidsskr., 25, 74 (1945). <sup>5</sup> N. Sundius, Arsbok Sveriges Geol. Undersök, 40, 4 (1946). <sup>6</sup> P. E. Brown, Geol. Mag., 93, 72 (1956). <sup>7</sup> C. E. Tilley, Am. Mineral., 42, 412 (1957). <sup>8</sup> F. Shido, Y. Seki, J. Geol. Soc. Japan, 65, 673 (1959). <sup>9</sup> Y. Matsumoto, M. Miyahisa, J. Min. Soc. Japan, 4, 372 (1960). <sup>10</sup> J. O'Hara, Geol. Mag., 97, 145 (1960). <sup>11</sup> И. В. Гинзбург, Тр. Минерал. музея АН СССР, в. 11 (1961). <sup>12</sup> В. М. Шемякин, В сборн. Геология и полезные ископаемые докембра Карельской АССР, Тез. докл., Петрозаводск, 1969. <sup>13</sup> У. А. Дири, Р. А. Хауди, Дж. Зусман, Породообразующие минералы, 2, М., 1965. <sup>14</sup> И. Д. Борнеман-Старынекевич, Руководство по расчету формул минералов, «Наука», 1964. <sup>15</sup> В. С. Соболев, Введение в минералогию силикатов, 1949. <sup>16</sup> Н. В. Белов, Изв. АН СССР, сер. геол., № 6 (1954).